

首都高速道路公団工務部設計技術課

正会員 西山啓伸

神奈川建設局横木町工事事務所

正会員 泉満明

" 湾岸線建設部設計工事第二課

正会員 正木義春

## 1. まえがき

首都高速道路公団ではコンクリート構造物、特に橋脚へ鉄骨鉄筋コンクリート(SRC)構造が多く採用され、『鉄骨鉄筋コンクリート設計基準』(昭和47年7月改訂)も作成されてゐる。同基準では部材の設計計算は累加強さ式によつており、その根柢として曲げモーメントを受ける部材について種々の実験がなされてゐる。しかし、せん断力と受ける部材の実験は少く、実際のコンクリート、鉄筋および鉄骨これらどの材料がどのようにせん断応力を分担しているかという報告は少ないので、設計上はスター・ラップと鉄骨ウェブの耐力を加えて累加強さ式によつてゐる。本報告は同一形状寸法のコンクリート部材(C), 鉄骨部材(S), 鉄筋コンクリート部材(RC), 鉄骨コンクリート部材(SC)および鉄骨鉄筋コンクリート部材(SRC)の供試体を作成し、同一載荷方法により実験を行ない部材のせん断耐力、びん性、各部材のせん断応力分担率などについて検討を行なつたものである。

## 2. 実験概要

実験に用いた供試体の形状寸法および載荷方法を図-1に示し、各部材の鉄筋および鉄骨の配置状態を図-2に示す。

実験はSRC, SC, RC, CおよびSの各供試体1箇につきせん断実験(曲げ実験はSRC供試体について1体行なう)を行なう。下結果、SRC供試体は曲げとせん断の複合破壊で、RC供試体は曲げ破壊を起したため、次実験として、スター・ラップをD13からD10K変更して、SRCおよびSの各1供試体、RC2供試体について再試験を行なつた。

## 3. 実験結果

使用した材料の性質は表-1に示すところである。

第1次および第2次実験結果のうち、各供試体の降伏荷重および最大荷重を表-2に示す。なお、表-2の計算値は以下によつた。

(1) SRC(曲)部材 ---- ACI終局強度理論によるRC耐力 + 鉄骨の降伏応力度を用いて耐力 -

$M_d$

(2) SRC部材 ----  $S_c + S_r + S_s - S_d$

(3) SC部材 ----  $S_c + S_s - S_d$

(4) RC部材 ----  $S_c + S_r - S_d$

(5) C部材 ----  $S_c - S_d$

(6) S部材 ----  $S_s - S_d$

ここで、 $M_d$ および $S_d$ はそれぞれ自重による影響、 $S_c$ は神山博士の式によるコンクリートの受けかつせん断耐力、 $S_r$ はRCのスター・ラップ計算式によるスター・ラップの受けもつ

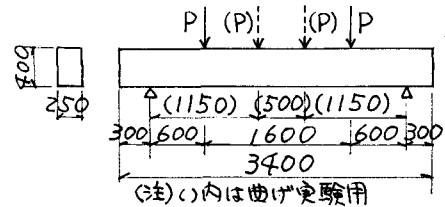
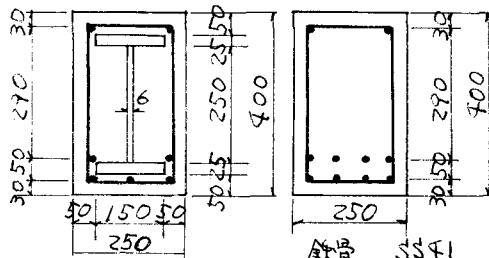


図-1 載荷方法と供試体の形状・寸法(mm)



(1) SRC部材  
(2) SC部材(鉄筋なし)  
(3) C部材(鉄骨, 2φ-12#ない)  
(4) S部材(鉄骨のみ)  
(5) RC部材

図-2 供試体の種類

(1) コンクリート

項目	巨細長比	引張沈没度	引張強度	ヤード系値
第1次	28.1	25.6	36.0	2.25
第2次	26.8	24.5	28.0	2.10

せん断耐力,  $s_d$  は鉄骨の降伏点応力度を  $\sqrt{3}$  倍割し、下値を用いて鉄骨の耐力

また、 $s_d$  の降伏荷重は鉄骨または鉄筋が降伏点応力度に達した時の荷重を意味し、 $s_d$  の安全率は (部材の終局の曲げ耐力)/(せん断耐力) あるいは (せん断耐力)/(曲げ耐力)、すなはちそれぞれの実験の破壊性状についての計算上の安全率である。たゞ、たゞ、たゞあればそれが、引張鉄筋、引張側鉄骨、スターラップおよび鉄骨ウェブが降伏点応力度に達したときの荷重を示す。

図-3 は各供試体のスパン中央での荷重-たわみ曲線を示す。

#### 4. 考 察

(1) SRC 部材は降伏点荷重において PC 部材と RC 部材の累加強度となり、鉄骨およびスターラップの耐力にコンクリートが一體作用していること

による影響を示していると思われるが、最大荷重においては、このコンクリートの影響がほとんどなくなり、スターラップと鉄骨の累加強度になった。したがって、降伏荷重までは、鉄骨のウェブの座屈をコンクリートが防ぎ、コンクリートの破壊に対するスターラップが抵抗して、最大荷重時には、ねばりのある鉄骨とスターラップのみが抵抗しているものと思われる。

(2) 鉄骨の配置された部材は著しくじん性が改善されねばりのある部材であった。

(3) 曲げ供試体の最大荷重は計算値の 2 割増程度であるに対し、せん断供試体は計算値の 5 ～ 10 割増と大きかった。

#### 5. 結論

コンクリートの強度、シャースパン比などの影響も検討しなければならぬが、本実験結果からSRC 部材は累加強度で計算しても、せん断に対して十分安全でありじん性を十分に有するねばりのある部材であると思われる。

なお、本実験に關し東京都立大学村田教授、住友建設技術研究所山内氏、首都高速道路公団秋元氏らの御指導、御協力に謝意を表します。

#### (2) 鉄筋 (SD 30) の性質

項目 名前	直径 (mm)	降伏荷重 (kN/mm)	破壊荷重 (kN/mm)	伸び (%)
D10	10	3,840	5,700	26.0
D13	13	3,830	5,600	28.2
D16	16	3,770	5,770	24.0
D22	22	3,430	5,530	24.6

#### (3) 鋼の性質

項目 記号	直径 (mm)	降伏荷重 (kN/mm)	破壊荷重 (kN/mm)	伸び (%)
SPF1	6	2,680	3,950	27.8
△	25	2,570	4,050	32.0

表-1 使用材料の性質

実験 種類	供試体の 計算値 (kN)	実測値(大)		実測値/計算値 (%)	最終破壊 (安全率)*2
		最大荷重 降伏荷重 割合	最大荷重 降伏荷重 割合		
1 RC	35.7	42.0 (—)*4	361*3 (—)*4	1.18 (—)	曲げ破壊 (1.71)
	62.3	80.0 (31.6)*6	76.1*5 (31.6)*6	1.28 (0.51)	せん断と曲げ の複合破壊 (1.10)
2 RC	33.9	57.0 (41.0)*7	33.3 (41.0)*7	1.68 (0.98)	せん断ならびに元波形 コンクリートのねばり (1.42)
	41.6	52.0 (49.0)*8	48.5 (49.0)*8	1.25 (1.16)	曲げ破壊 (1.17)
3 C	12.9	21.0 (23.1)*9	14.0 (23.1)*9	1.62 (1.07)	せん断破壊 (1.55)
	23.1	46.0 (23.1)*9	23.0 (23.1)*9	2.00 (1.00)	ねばりの発現 (2.09)
4 SRC	35.6	41.0 (32.0)*10	37.0*3 (32.0)*10	1.15 (0.90)	曲げ破壊 (1.37)
	49.6	80.0 (35.5)*11	68.0*5 (35.5)*11	1.61 (0.92)	せん断と曲げ の複合破壊 (1.38)
5 RC(1)	28.2	46.0 (41.0)*12	41.0 (41.0)*12	1.63 (1.45)	せん断破壊 (1.75)
	28.2	49.0 (42.5)*13	42.5 (42.5)*13	1.74 (1.51)	" "
6 SRC	23.1	49.0 (25.0)*14	25.0 (25.0)*14	2.12 (1.08)	ねばりの発展 (1.54)

表-2 降伏荷重と最大荷重

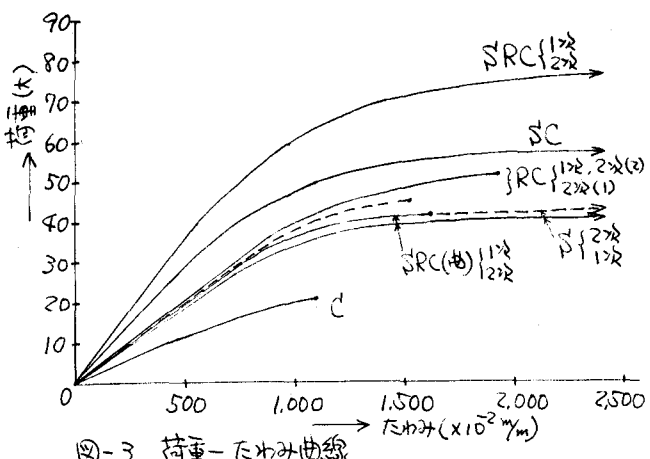


図-3 荷重-たわみ曲線